

## II. Результати наукових досліджень

УДК 541.11

Н. І. Усенко, М. І. Іванов, Н. В. Котова, Н. В. Головата

### ТЕРМОХІМІЧНІ ВЛАСТИВОСТІ РІДКИХ СПЛАВІВ ЗАЛІЗА З ВАЖКИМИ ЛАНТАНОЇДАМИ: ЕКСПЕРИМЕНТ ТА МОДЕЛЮВАННЯ

Енталпії змішування в рідких сплавах заліза із важкими лантаноїдами (*Gd, Tb, Dy та Lu*) визначено при 1550–1950 K методом високотемпературної калориметрії в ізоперіболічному режимі. Процес сплавоутворення супроводжується екзотермічними ефектами, які зростають вздовж ряду лантанідів від системи *Fe–Gd* ( $\Delta_m H_{min} = -4.74 \pm 0.45 \text{ кДж} \cdot \text{моль}^{-1}$  при  $x_{Gd} = 0.45; T = 1833 \text{ K}$ ) до системи *Fe–Lu* ( $\Delta_m H_{min} = -11.58 \pm 0.50 \text{ кДж} \cdot \text{моль}^{-1}$  при  $x_{Lu} = 0.35; T = 1950 \text{ K}$ ). Енталпії змішування, змодельовані з використанням теорії «оточеного атому» для розплавів всіх досліджених подвійних систем, узгоджуються з отриманими експериментально в межах похибки досліду.

**Ключові слова:** залізо, лантаноїди, калориметрія, енталпії змішування.

### Вступ

Подвійні та потрійні сплави, що містять залізо та метали підгрупи лантану (*Ln*), цікаві з точки зору можливостей їх технічного застосування, а саме як магнітні матеріали та матеріали для водневих акумуляторів. Надійна термодинамічна інформація для рідких сплавів *Fe–Ln* необхідна для розрахунків фазових рівноваг у багатокомпонентних системах, яким притаманні унікальні технологічні властивості.

Утворення сплавів заліза з тривалентними лантаноїдами від Ce до Lu характеризується наявністю декількох інтерметалічних сполук, що формуються за перитетичними реакціями в області збагаченого на залізо складу; додатково в подвійних системах *Fe–Ln* (*Ln = Dy, Ho, Er, Tm і Lu*) існують також сполуки, що плавляться конгруентно [1]. Експериментальна інформація про стандартні енталпії утворення ( $\Delta_f H$ ) інтерметалідів в системах *Fe–Ln* суттєво обмежена. Наявні дані з енталпії, визначені прямим калориметричним вимірюванням, представлено тільки для систем *Fe–Gd*, *Fe–Dy* та *Fe–Er*. Для інтерметалічних фаз в системі *Fe–Gd* встановлено незначні екзотермічні енталпії:  $-2,3 \text{ кДж} \cdot \text{моль}^{-1}$  (*Gd<sub>2</sub>Fe<sub>17</sub>*, в подальшому моль інтерметалічної сполуки означає моль атомів);  $-9,3 \text{ кДж} \cdot \text{моль}^{-1}$  (*GdFe<sub>3</sub>*) та  $-11,6 \text{ кДж} \cdot \text{моль}^{-1}$  (*GdFe<sub>2</sub>*) [2]. Згідно з [3], інтерметалідні сполуки в системах *Fe–Dy* та *Fe–Er* характеризуються значеннями енталпії того ж самого порядку. Нарешті, в [4] визначено значні від'ємні величини для енталпії утворення сполук *DyFe<sub>2</sub>* ( $-29,3 \pm 2,6 \text{ кДж} \cdot \text{моль}^{-1}$ ) і *ErFe<sub>2</sub>* ( $-48,8 \pm 5,3 \text{ кДж} \cdot \text{моль}^{-1}$ ).

Тепер отримано дуже небагато експериментальних результатів для рідких сплавів Fe з важкими лантаноїдами. Наявні калориметричні вимірювання енталпії змішування ( $\Delta_m H$ ) подвійних рідких сплавів Fe з La, Ce, Nd та Gd дають незначні екзотермічні значення цих величин (в деяких областях концентрацій частково ен-

© Усенко Наталія Ігорівна, Котова Наталія Володимирівна, Головата Наталія Валеріївна, наукові співробітники хімічного факультету Київського національного університету ім. Т. Г. Шевченка; Іванов Михайло Ігоревич, науковий співробітник Інституту проблем матеріалознавства ім. І. М. Францевича НАН України.

дотермічні) [5–7]. Так, всі згадані калориметричні дослідження є неповними, іноді суперечливими і не містять ніяких даних з ентальпії для сплавів Fe з важкими лантаноїдами від Tb до Lu. Нещодавно в [8] методом калориметрії отримано ентальпії змішування рідких Fe–Sm сплавів при 1400–1829 К та зазначено, що їх величини є від'ємними для всієї області концентрацій ( $\Delta_m H = -4,2 \pm 1,1 \text{ кДж} \cdot \text{моль}^{-1}$  при  $x_{\text{Sm}} = 0,4$ ,  $\bar{\Delta}H_{\text{Sm}} = -20,7 \pm 3,9 \text{ кДж} \cdot \text{моль}^{-1}$ ,  $\bar{\Delta}H_{\text{Fe}} = -12,2 \pm 2,9 \text{ кДж} \cdot \text{моль}^{-1}$ ), а результуюче рівняння, що описує концентраційну залежність інтегральної ентальпії змішування розплавів цієї системи при 1829 К, має вигляд,  $\text{кДж} \cdot \text{моль}^{-1}$ :  $\Delta_m H_{\text{Fe-Sm}} = x_{\text{Sm}}(1-x_{\text{Sm}})(-20,68 + 7,46x_{\text{Sm}} + 2,17x_{\text{Sm}}^2 - 1,11x_{\text{Sm}}^3)$ .

Аналіз перелічених публікацій дозволив авторам зробити висновок про необхідність виконання більш систематичного калориметричного дослідження розплавів Fe з важкими лантаноїдами.

### Експеримент

У даному дослідженні ентальпії змішування рідких сплавів Fe з Gd, Tb, Dy та Lu було вимірювано для всієї області складу. Сплави заліза з лантаноїдами, як відомо, дуже важко вивчати внаслідок їх дуже високої температури плавлення (наприклад, система Fe–Lu), високого тиску пари компонентів та їх високою реакційною здатністю відносно матеріалу тиглю [2]. Експерименти проводили з використанням високотемпературного ізопериболічного калориметру в захисній атмосфері гелію при тиску  $10^5$  Па та температурах 1550–1950 К. Апаратура і методика проведення експерименту аналогічні застосовуваним у більш ранніх дослідженнях [8, 9]. Проте, калориметричне вивчення системи Fe–Lu в рідкому стані потребувало досягнення більш високої температури (близько 1950 К). Для цієї мети пристрій, описаний у [7], був забезпечений додатковою системою екранів з молібдену, зроблених з фольги товщиною 0,1 мм та розміщених всередині гарячої зони навколо молібденового нагрівача.

Чистота використаних металів була 99,95% для Fe, 99,85% для Gd, 99,96% для Tb, Dy і Lu. Зразки заліза переплавляли у вакуумі в тиглях з оксиду алюмінію при 1850 К, лантаноїди механічно обробляли та зберігали для запобігання окисненню у петролейному ефірі.

Парціальні теплоти змішування компонентів в подвійних розплавах вимірювали в процесі послідовного введення зразка металу при 298 К до ванни з рідким металом.

У кожній експериментальній серії зразки металів незначної маси (в межах 0,01–0,03 г) скидали до калориметричної ванни – тиглю з оксиду цирконію або молібдену (їх використання залежало від складу сплавів), у який був вміщений рідкий метал або сплав. Початкова маса металу у ванні складала приблизно 2–3 г. Зміна концентрації сплаву після кожної добавки становила менше 1,5 ат. %. Отже, ми визначали парціальні молярні ентальпії з достатньою точністю.

Експериментальний метод заснований на вимірюванні різниці температур  $\Delta T$  між зразком та еталонним зразком (тиглем, що вміщував Mo або W), нанесеної на графік як функції від часу релаксації температури ( $t$ ). Визначення температури проводили із застосуванням термопари WRe5/WRe20. Подробиці експериментів, методика калібрування та процедури обчислення були такими ж, як описано в [11].

Результатуючий тепловий баланс для ендотермічних ефектів описується рівнянням:

$$k \int \Delta T(t) dt = \Delta H_{i,298}^T + \bar{\Delta}H_i,$$

## II. Результати наукових досліджень

де  $k$  — молярна термічна константа калориметру;  $\Delta H_{298}^T$  — стандартна енталпія нагрівання зразків (на 1 моль металу, скинутого до ванни) від 298 К до температури рідини у ванні, запозичена з [12];  $\bar{\Delta H}_i$  — вимірювана парціальна молярна енталпія змішування  $i$ -того компоненту. Значення стандартної енталпії нагрівання металів ( $\Delta H_{i,298}^T$ ), що використовувалось в експериментах, також могло містити як внесок енталпію плавлення компонента (у випадку Fe, Lu), якщо температура плавлення булавищою за температуру експерименту. За стандартний стан приймався стан рідких компонентів.

Масив експериментальних даних  $\bar{\Delta H}_i$  для кожного компонента оброблявся статистично (у вигляді  $\alpha$ -функції, визначеної як  $\alpha_i = \bar{\Delta H}_i \cdot (1 - x_i)^{-2}$ ) за методом найменших квадратів з використанням ортогональних поліномів Форсайта [13], які на заключному етапі перетворювались у степеневі. Процедура обчислення, яка базується на рівнянні Гіббса-Дюгема, дозволяє отримувати згладжені значення обох парціальних для компонентів та інтегральної енталпії змішування з довірчими інтервалами, що дорівнюють подвоєному стандартному відхиленню відповідної апроксимуючої  $\alpha$ -функції. Далі отримані з обох сторін чистих компонентів дві гілки інтегральної  $\alpha$ -функції ( $\alpha = \Delta_m H \cdot x^{-1}(1-x)^{-1}$ ) обробляли сумісно за методом найменших квадратів для отримання найбільш оптимальної згладжуючої кривої цієї функції для всього інтервалу складів. Із отриманих значень інтегральної  $\alpha$ -функції розраховували самоузгоджені парціальні енталпії для компонентів.

### Результати

Енталпії змішування рідких сплавів заліза з важкими лантаноїдами (Gd, Tb, Dy і Lu) виміряно у всій області концентрацій при 1833 К (системи Fe–Gd та Fe–Tb), при 1700–1850 К (Fe–Dy) і при 1950 К (Fe–Lu). При вимірах використовували цирконієві тиглі. Тиглі з молібдену також застосовували при роботі з іншими рідкими лантаноїдами або з розплавами, що мали високий вміст лантаноїдів.

Дані представлено у табл. 1–4. Встановлено, що парціальні для компонентів та інтегральні енталпії змішування розплавів систем Fe–Gd, Fe–Tb, Fe–Dy та Fe–Lu є від'ємними величинами у всьому концентраційному інтервалі.

Таблиця 1

**Енталпії змішування розплавів системи Fe–Gd при 1833 К, розраховані із згладжених  $\alpha$ -функцій ( $\Delta_m H$ ) та за моделлю “оточеного атому” ( $\Delta_m H_{\text{позр.}}$ ),  $\text{кДж} \cdot \text{моль}^{-1}$**

$x_{\text{Gd}}$	$\bar{\Delta H}_{\text{Gd}}$	$\bar{\Delta H}_{\text{Fe}}$	$\Delta_m H$	$\Delta_m H_{\text{позр.}}$
0	$-22,0 \pm 3,6$	0	0	0
0,1	$-16,8 \pm 1,9$	$-0,3 \pm 0,02$	$-1,9 \pm 0,2$	-2,1
0,2	$-12,5 \pm 1,4$	$-1,0 \pm 0,1$	$-3,3 \pm 0,4$	-3,2
0,3	$-8,9 \pm 1,0$	$-2,2 \pm 0,2$	$-4,2 \pm 0,4$	-4,1
0,4	$-6,1 \pm 0,6$	$-3,7 \pm 0,3$	$-4,7 \pm 0,4$	-4,6
0,5	$-3,9 \pm 0,3$	$-5,5 \pm 0,3$	$-4,7 \pm 0,3$	-4,7
0,6	$-2,3 \pm 0,2$	$-7,5 \pm 0,4$	$-4,4 \pm 0,3$	-4,5
0,7	$-1,2 \pm 0,1$	$-9,5 \pm 0,6$	$-3,7 \pm 0,3$	-3,9
0,8	$-0,5 \pm 0,1$	$-11,6 \pm 0,8$	$-2,7 \pm 0,2$	-2,9
0,9	$-0,1 \pm 0,02$	$-13,7 \pm 1,1$	$-1,5 \pm 0,1$	-1,6
1,0	0	$-15,6 \pm 2,8$	0	0

Таблиця 2

**Ентальпії змішування розплавів системи Fe–Tb при 1833 К, розраховані із згладженіх  $\alpha$ -функцій ( $\Delta_m H$ ) та за моделлю “оточеного атому” ( $\Delta_m H_{\text{позр.}}$ ), кДж · моль<sup>-1</sup>**

$x_{\text{Tb}}$	$\Delta \bar{H}_{\text{Tb}}$	$\Delta \bar{H}_{\text{Fe}}$	$\Delta_m H$	$\Delta_m H_{\text{позр.}}$
0	$-23,5 \pm 2,5$	0	0	0
0,1	$-17,9 \pm 1,7$	$-0,3 \pm 0,02$	$-2,1 \pm 0,2$	-2,1
0,2	$-13,3 \pm 1,2$	$-1,1 \pm 0,1$	$-3,5 \pm 0,3$	-3,6
0,3	$-9,5 \pm 0,8$	$-2,4 \pm 0,2$	$-4,5 \pm 0,4$	-4,6
0,4	$-6,5 \pm 0,6$	$-4,0 \pm 0,3$	$-5,0 \pm 0,4$	-5,2
0,5	$-4,2 \pm 0,5$	$-5,9 \pm 0,5$	$-5,0 \pm 0,5$	-5,2
0,6	$-2,5 \pm 0,3$	$-8,0 \pm 0,8$	$-4,7 \pm 0,5$	-4,7
0,7	$-1,3 \pm 0,2$	$-10,2 \pm 1,2$	$-3,9 \pm 0,5$	-4,1
0,8	$-0,5 \pm 0,1$	$-12,4 \pm 1,8$	$-2,9 \pm 0,5$	-3,1
0,9	$-0,1 \pm 0,03$	$-14,7 \pm 2,7$	$-1,6 \pm 0,3$	-1,7
1,0	0	$-16,8 \pm 3,0$	0	0

Таблиця 3

**Ентальпії змішування розплавів системи Fe–Dy при 1850 К, розраховані із згладженіх  $\alpha$ -функцій ( $\Delta_m H$ ) та за моделлю “оточеного атому” ( $\Delta_m H_{\text{позр.}}$ ), кДж · моль<sup>-1</sup>**

$x_{\text{Dy}}$	$\Delta \bar{H}_{\text{Dy}}$	$\Delta \bar{H}_{\text{Fe}}$	$\Delta_m H$	$\Delta_m H_{\text{позр.}}$
0	$-30,1 \pm 3,0$	0	0	0
0,1	$-32,7 \pm 4,8$	$0,2 \pm 0,2$	$-3,1 \pm 0,7$	-4,1
0,2	$-29,4 \pm 4,0$	$-0,5 \pm 0,3$	$-6,3 \pm 1,0$	-6,8
0,3	$-16,9 \pm 2,8$	$-4,8 \pm 0,5$	$-8,4 \pm 1,2$	-8,3
0,4	$-6,4 \pm 2,1$	$-10,3 \pm 0,9$	$-8,8 \pm 1,4$	-8,8
0,5	$-2,2 \pm 1,1$	$-13,6 \pm 1,1$	$-7,9 \pm 1,1$	-8,5
0,6	$-1,7 \pm 0,6$	$-14,2 \pm 1,3$	$-6,7 \pm 0,9$	-7,5
0,7	$-1,2 \pm 0,3$	$-15,2 \pm 1,8$	$-5,4 \pm 0,8$	-5,9
0,8	$-0,3 \pm 0,2$	$-18,0 \pm 2,5$	$-3,8 \pm 0,6$	-4,1
0,9	0,02	$-19,3 \pm 3,6$	$-1,9 \pm 0,4$	-2,1
1,0	0	$-20,8 \pm 2,7$	0	0

Таблиця 4

**Ентальпії змішування розплавів системи Fe–Lu при 1950 К, розраховані із згладженіх  $\alpha$ -функцій ( $\Delta_m H$ ) та за моделлю “оточеного атому” ( $\Delta_m H_{\text{позр.}}$ ), кДж · моль<sup>-1</sup>**

$x_{\text{Lu}}$	$\Delta \bar{H}_{\text{Lu}}$	$\Delta \bar{H}_{\text{Fe}}$	$\Delta_m H$	$\Delta_m H_{\text{позр.}}$
0	$-54,4 \pm 3,6$	0	0	0
0,1	$-48,7 \pm 1,4$	$-0,2 \pm 0,02$	$-5,0 \pm 0,2$	-5,0
0,2	$-37,7 \pm 1,1$	$-2,0 \pm 0,1$	$-9,2 \pm 0,3$	-8,4
0,3	$-18,7 \pm 0,7$	$-8,1 \pm 0,1$	$-11,3 \pm 0,3$	-10,5
0,4	$-9,8 \pm 0,9$	$-12,7 \pm 0,4$	$-11,6 \pm 0,6$	-11,4
0,5	$-5,9 \pm 1,0$	$-15,9 \pm 1,0$	$-10,9 \pm 1,0$	-11,3
0,6	$-3,1 \pm 0,7$	$-19,3 \pm 1,6$	$-9,6 \pm 1,0$	-10,2
0,7	$-1,0 \pm 0,4$	$-23,1 \pm 2,2$	$-7,7 \pm 0,9$	-8,4
0,8	$-0,4 \pm 0,2$	$-25,0 \pm 3,2$	$-5,3 \pm 0,8$	-6,0
0,9	$-0,2 \pm 0,1$	$-26,3 \pm 3,4$	$-2,8 \pm 0,4$	-3,1
1,0	0	$-28,0 \pm 3,8$	0	0

## II. Результати наукових досліджень

Для прикладу концентраційні залежності ентальпії змішування в розплатах систем Fe–Gd, Fe–Dy і Fe–Lu продемонстровано на рис. 1, а, б, відповідно.

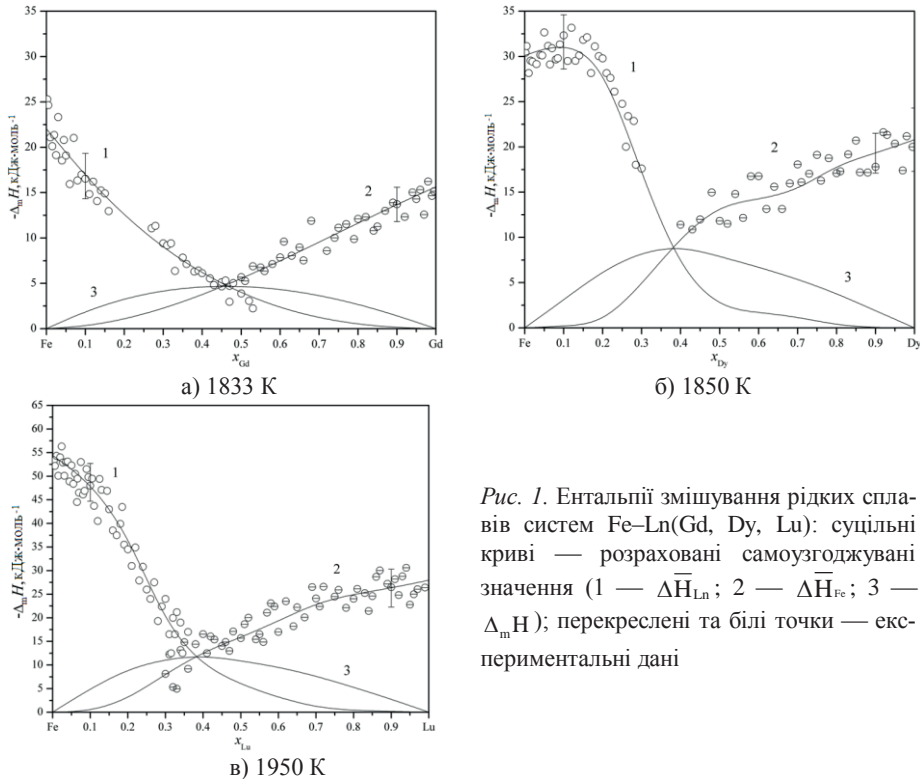


Рис. 1. Ентальпії змішування рідких сплавів систем Fe–Ln(Gd, Dy, Lu): суцільні криві — розраховані самоузгоджувані значення (1 —  $\Delta H_{\text{Ln}}$ ; 2 —  $\Delta \bar{H}_{\text{Fe}}$ ; 3 —  $\Delta_m H$ ); перекреслені та білі точки — експериментальні дані

Ці залежності відображають характерні риси досліджуваних систем. Мінімальні значення інтегральних ентальпій змішування рідких сплавів складають, кДж · моль<sup>-1</sup>: для системи Fe–Gd  $-4,74 \pm 0,40$  при  $x_{\text{Gd}} = 0,45$ ; для Fe–Tb  $-5,06 \pm 0,43$  при  $x_{\text{Tb}} = 0,45$ ; для Fe–Dy  $-8,80 \pm 1,33$  при  $x_{\text{Dy}} = 0,35$  та для Fe–Lu  $-11,58 \pm 0,50$  при  $x_{\text{Lu}} = 0,35$ .

Визначення термодинамічних властивостей елементів, сполук, фаз, розчинів при високих температурах є складним експериментальним завданням, що потребує великих матеріальних, енергетичних і трудових затрат. У зв'язку з цим розробка методів моделювання і прогнозування фізико-хімічних властивостей різних об'єктів має суттєво зменшити витрати для встановлення цієї важливої інформації. Багато сплавів систем, що використовують на практиці, є тугоплавкими, тому обчислення основних фізико-хімічних властивостей такого типу систем є важливим завданням. Наш досвід показав, що для моделювання властивостей у недосліджених концентраційних областях має сенс застосовувати ті моделі, які базуються на обмеженій кількості експериментальних даних з метою інтерполяції властивостей на всю область концентрацій. Так, з використанням теорії “оточеного атому” на кафедрі фізичної хімії Київського університету імені Тараса Шевченка було розроблено методику розрахунку ентальпії змішування бінарних рідких металічних сплавів в усій області концентрацій за експериментальними даними в обмежених областях складів [14, 15]. Зокрема, було створено програми, які на основі застосування ітераційного методу дозволяють розраховувати інтегральні ентальпії змішування в усій області концентрацій за двома експериментальними

значеннями цієї величини або *парціальними енталпіями змішування* обох компонентів при нескінченому розведенні.

Так, на цій основі ми розрахували інтегральні енталпії змішування ( $\Delta_m H_{\text{розр.}}$ ) розплавів зазначених систем Fe–Ln в усій області концентрацій та порівняли отримані результати з експериментальними ( $\Delta_m H$ ) (табл. 1–4). Дані таблиць свідчать про практично повне узгодження між величинами розрахованих та отриманих експериментально енталпій змішування рідких сплавів систем Fe–Ln (відносна похибка складає в середньому для системи Fe–Gd 2,4; Fe–Tb — 3,4; Fe–Dy — 7,6 і для Fe–Lu — 6,3% відн., тобто не перевищує межу похибки калориметричного експерименту, яка зазвичай дорівнює 10%).

### Обговорення

Сплавоутворення в серії систем Fe–Ln супроводжується екзотермічними ефектами, що відображає слабку хімічну взаємодію між компонентами у сплавах заліза з легкими лантаноїдами. У той же час рідкі сплави Fe з важкими лантаноїдами демонструють негативні енталпії змішування, які поступово збільшуються вздовж ряду лантаноїдних елементів (рис. 2).

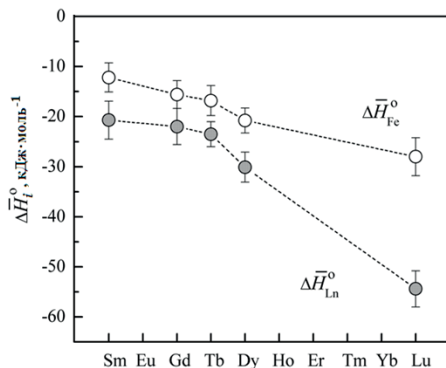


Рис. 2. Залежність значень  $\Delta \bar{H}_{\text{Fe}}^{\circ}$  і  $\Delta \bar{H}_{\text{Ln}}^{\circ}$  від атомного номера лантаноїдів для досліджених розплавів Fe–Ln: сірі точки —  $\Delta \bar{H}_{\text{Ln}}^{\circ}$ ; білі точки —  $\Delta \bar{H}_{\text{Fe}}^{\circ}$ . Дані для системи Fe–Sm взято з [8]

Мінімальні значення  $\Delta_m H$  у всіх вивчених системах локалізовані у збагаченні на залізо області складів і корелюють з наявністю інтерметалідних сполук  $\text{Fe}_{17}\text{Ln}_2$ ,  $\text{Fe}_{23}\text{Ln}_6$ ,  $\text{Fe}_3\text{Ln}$  і  $\text{Fe}_2\text{Ln}$ , включаючи фази, що плавляться конгруентно, в системах з важкими лантаноїдами (Dy, Ho, Er, Tm і Lu) [1]. Раніше автори [2] із застосуванням калориметричного методу визначили стандартні енталпії утворення твердих фаз в системі Fe–Gd і отримали екзотермічні значення, що корелюють з нашими даними для відповідних рідких сплавів. Дані з енталпії для розплавів Fe–Gd, калориметрично виміряні при 1850 К [5], узгоджуються з нашими даними для цієї системи тільки для інтегральної енталпії.

Такі енталпії утворення сплавів лантаноїдів з 3d-перехідними металами можуть бути пояснені з точки зору величин енергії Фермі, щільності електронних станів і ширини d-та f-зон компонентів [16]. В окремих системах ряду Fe–Ln існує певна різниця енергій Фермі компонентів, які можуть бути оцінені за допомогою роботи виходу електрону [17] ( $\varphi_{\text{Fe}} = 4,3$  еВ,  $\varphi_{\text{Ln}} \approx 3,1\text{--}3,2$  еВ). Так, слід очікувати, що Fe–Ln сплави мають утворюватись з екзотермічним ефектом, який, однак, повинен бути не дуже великим через значну різницю в атомних об'ємах компонентів ( $V_{\text{Fe}}^{\circ} = 7,09 \text{ см}^3 \cdot \text{моль}^{-1}$ , тоді як  $V_{\text{Gd}}^{\circ} = 19,90 \text{ см}^3 \cdot \text{моль}^{-1}$  та  $V_{\text{Lu}}^{\circ} = 17,77 \text{ см}^3 \cdot \text{моль}^{-1}$  [18]). На рис. 2 показана наявна тенденція до збільшення абсолютноного значення граничних парціальних енталпій змішування сплавів систем Fe–Ln вздовж

## II. Результати наукових досліджень

ряду важких лантаноїдів. Цей факт корелює із збільшенням щільноті електронних станів лантаноїдів на рівні Фермі від лантану (блізько  $0,58 \cdot 1023 \text{ eV}^{-1} \cdot \text{см}^{-3}$ ) до лютецію (блізько  $0,73 \cdot 1023 \text{ eV}^{-1} \cdot \text{см}^{-3}$ ) [16]. Така зміна ентальпії змішування також може бути пов'язана із зменшенням різниці атомного об'єму компонентів (за рахунок лантаноїдного стиснення), що призводить до більш ефективного перекриття орбіталей Fe і Ln у випадку тяжких лантаноїдів. Слід зазначити, що аналогічна тенденція для ентальпії змішування була також встановлена для серії рідких сплавів Mn–Ln [11].

### Висновки

Термохімічні властивості рідких сплавів подвійних систем Fe з Gd, Tb, Dy та Lu визначено у всьому концентраційному інтервалі методом ізоперіболічної високотемпературної калориметрії при 1550–1950 К. Показано, що прямі калориметричні дослідження дають можливість отримати достовірну інформацію про ентальпії змішування рідких сплавів лантаноїдів з переходними металами. Моделювання з використанням теорії “оточеного атому” для металічних систем аналогічного типу є успішним, що дає можливості досить широкого використання цієї теорії для прогнозування термохімічних властивостей складних в експериментальному відношенні об'єктів.

Подальші дослідження сплавів цих рідких систем, а також Fe–Ho(Er, Tm, Yb), які досі залишаються мало вивченими або практично невивченими у всьому діапазоні концентрацій, були б особливо цікавими для подальшого дослідження та моделювання з метою отримання повного набору термодинамічних даних.

Энталпии смешения в жидкых сплавах железа с тяжелыми лантаноидами ( $Gd$ ,  $Tb$ ,  $Dy$  и  $Lu$ ) определены при 1550–1950 К методом высокотемпературной калориметрии в изопериболическом режиме. Процесс сплавообразования сопровождается экзотермическими эффектами, возрастающими вдоль ряда лантаноидов от системы  $Fe-Gd$  ( $\Delta_m H_{min} = -4,74 \pm 0,40 \text{ кДж} \cdot \text{моль}^{-1}$  при  $x_{Gd} = 0,45$ ;  $T = 1833 \text{ K}$ ) до системы  $Fe-Lu$  ( $\Delta_m H_{min} = -11,58 \pm 0,50 \text{ кДж} \cdot \text{моль}^{-1}$  при  $x_{Lu} = 0,35$ ;  $T = 1950 \text{ K}$ ). Энталпии смешения, смоделированные с использованием теории “окруженного атома” для расплавов всех исследованных двойных систем, согласуются с полученными экспериментально в пределах ошибки опыта.

**Ключевые слова:** железо; лантаноиды; калориметрия; энталпии смешения.

The enthalpies of mixing in liquid alloys of iron with the heavy lanthanides ( $Gd$ ,  $Tb$ ,  $Dy$  and  $Lu$ ) were determined at 1550–1950 K by high temperature izoperibolic calorimetry. The process of alloy formation was accompanied with exothermic effects, increasing across the lanthanides row from the  $Fe-Gd$  system ( $\Delta_m H_{min} = -4.74 \pm 0.40 \text{ kJ} \cdot \text{mol}^{-1}$  at  $x_{Gd} = 0.45$ ;  $T = 1833 \text{ K}$ ) to  $Fe-Lu$  system ( $\Delta_m H_{min} = -11.58 \pm 0.50 \text{ kJ} \cdot \text{mol}^{-1}$  at  $x_{Lu} = 0.35$ ;  $T = 1950 \text{ K}$ ). Enthalpies of mixing, calculated by using of “surrounded atom” theory for alloys of all investigated binary systems, agree with experimental values within errors limits.

**Keywords:** Iron; Lanthanides; Calorimetry; Enthalpy of mixing.

1. *Massalski T. B.* (Ed.). Binary Alloy Phase Diagrams, 1-st ed., ASM International, Metals Park, OH, 1986.
2. *Colinet C.* The thermodynamic properties of rare earth metallic systems / C. Colinet // J. Alloys Comp. – 1995. – Vol. 225, Iss. 1–2. – P. 409–422.
3. *Norgren S.* Experimental investigation on the enthalpies of formation of the DyFe<sub>2</sub>, DyFe<sub>3</sub>, Dy<sub>2</sub>Fe<sub>17</sub>, ErFe<sub>2</sub>, and ErFe<sub>3</sub> intermetallic compounds / S. Norgren, F. Hodadj, P. Azay, C. Colinet // Metallurg. Trans. – 1998. – Vol. 29A. – P. 1367–1374.
4. *Deodhar S. S.* A study of the reaction kinetics for the formation of rare earth-transition metal laves compounds / S. S. Deodhar, P. J. Ficalora // Metallurg. Trans. – 1975. – Vol. 6A. – P. 1909–1914.
5. *Nikolaenko I.* Some regularities in the thermochemistry of alloying rare earths with late 3d-transition metals / I. Nikolaenko // J. Alloys Comp. – 1995. – Vol. 225. – P. 474–479.
6. *Есин Ю. О.* Энталпии образования жидких бинарных сплавов железа с лантаном и церием / Ю. О. Есин, А. Ф. Ермаков, М. Г. Валишев и др. // Журн. Физ. Химии, – 1981. – Т. 55. – Р. 2168–2169.
7. *Berezutski V. V.* Thermochemistry of binary alloys of lanthanum with 3d-transition metals / V. V. Berezutski, N. I. Usenko, M. I. Ivanov // Powder Metallurg. Metal Ceramics. – 2006. Vol. 45. – P. 454–461.
8. *Berezutski V. V.* Mixing enthalpies in samarium–transition metal melts / V. V. Berezutski, M. I. Ivanov. // Powder Metallurg. Metal Ceramics. – 2009. – Vol. 48, Is. 7–8. – P. 454–461.
9. *Usenko N. I.* Thermochemistry of binary liquid alloys of cooper with barium and lanthanide metals (Eu, Dy and Yb) / N. I. Usenko, M. I. Ivanov, V. M. Petiuh, V. T. Witusiewicz // J. Alloys Comp. – 1993. – Vol. 190. – P. 149–155.
10. *Alcock C. B.* Vapour Pressure Equations for the Metallic Elements: 298–2500K / C. B. Alcock, V. P. Itkin, M. K. Horrigan // Canad. Metall. Quart. – 1984. – Vol. 23. – P. 309–315.
11. *Ivanov M. I.* Mixing enthalpies in liquid alloys of manganese with the lanthanides / M. I. Ivanov, V. V. Berezutski, N. I. Usenko // Intern. J. Materials Research. – 2011. – Vol. 102, Iss. 3. – P. 277–281.
12. *Dinsdale A. T.* SGTE Data for pure elements / A.T. Dinsdale // Calphad. – 1991. – Vol. 15. – P. 317–425.
13. *Bale C. W.* Mathematical representation of thermodynamic properties in binary systems and solution of Gibbs Duhem equation / C. W. Bale, A. D. Pelton // Metall. Trans. – 1974. – Vol. 5. – P. 2323–2337.
14. *Белобородова Е.А.* Взаимодействие компонентов бинарных жидких сплавов германия с р-, д- и ф-металлами периодической системы. Дис.... докт. хим. наук: 02.00.04. – К., 1987. – 448 с.
15. *Баталин Г. И.* О применимости теории «окруженного атома» к описанию термодинамических свойств жидких алюминиевых сплавов / Г. И. Баталин, Е. А. Белобородова // ЖФХ. – 1971. – 45, № 8. – С. 1954–1958.
16. *Харрисон У.* Электронная структура и свойства твердых тел: пер. с англ. – М.: Мир, 1983. – 335 с.
17. *Фоменко В. С.* Эмиссионные свойства материалов. Справочник, 4-е изд. – Киев: Наук. думка, 1981. – 339 с.
18. *De Boer F.R., Boom R., Mattens W.C.M., Miedema A.R., Niessen A.K.* Cohesion in Metals. – North Holland, Amsterdam, 1988.